

Решение уравнения движения индентора получаем на основе интегрального преобразования Лапласа. Значение контактной силы определяется из условия совместности перемещений индентора и пластины. После определения коэффициентов разложения искоемых функций вычисляются перемещения, деформации и напряжения в слоях пластины.

Исследовано влияние скорости индентора на максимальные растягивающие напряжения на примере трехслойного ветрового стекла КамАЗ-5320 с размерами в плане 1024 и 662 мм. Наружные слои изготовлены из силикатного стекла и соединены слоем из полимерного материала. Индентор представлял собой стальной шар массой 227 г и радиусом 20 мм.

Оценка прочности остекления проводилась на основе первой теории прочности. Исследованы напряжения при различных скоростях столкновения остекления с индентором. При скорости индентора 7 м/с растягивающие напряжения в наружных слоях приближаются к допустимым значениям (120 МПа), а при 10 и 13 м/с происходит разрушение стекла.

Также исследовано влияние массы индентора на растягивающие напряжения в слоях остекления при скорости столкновения 5 м/с. Когда масса индентора равна 400 г, значения напряжений приближаются к своим допустимым значениям. При ударе индентором массой 500 г остекление разрушается.

Предложенный подход может быть использован при проектировании безопасного многослойного остекления средств наземного транспорта с учетом аварийных воздействий.

#### Список литературы

- 1 ГОСТ Р 51136–2008. Стекла защитные многослойные. Общие технические условия. – Взамен ГОСТ Р 51136–987 ; введ. 2009-06-01. – М. : Стандартинформ, 2008. – 15 с.
- 2 Бруль, С. Т. К вопросу о моделировании воздействия ударной волны на корпус боевой машины / С. Т. Бруль, А. Ю. Васильев // Вестник НТУ «ХПИ». Машиноведение и САПР. – 2005. – № 53. – С. 29–34.
- 3 ГОСТ 5727–88. Стекло безопасное для наземного транспорта. Общие технические условия : с изм. № 3, утв. постановлением Госстандарта России от 27.08.2001 № 353-ст. – Введ. 2002-01-01. – М., 2002. – 5 с.
- 4 Голяков, В. И. Метод расчета взрывозащитного остекления / В. И. Голяков, А. А. Дайлов, В. А. Кишкин // Системы безопасности. – 2004. – № 4. – С. 26–27.
- 5 Мильков, В. Г. Двухосноориентированная полиэтилентерефталатная пленка. Всегда ли необходима в пулестойком и взрывобезопасном остеклениях? / В. Г. Мильков // Технологии безопасности. – 2004. – № 6. – С. 24–26.
- 6 Dynamic response of laminate composite shells with complex shape under low-velocity impact / N. Smetankina [et al.] // Integrated Computer Technologies in Mechanical Engineering-2020. – Springer : Cham, 2021. – Vol. 188. – P. 267–276.
- 7 Jones, N. Structural impact / N. Jones. – Cambridge : Cambridge Univ. Press, 1989. – 320 p.

УДК.539.3

### ЧИСЛЕННЫЙ РАСЧЕТ ТОНКОСТЕННЫХ СТЕРЖНЕЙ ПРИ ПРОСТРАНСТВЕННО-ПЕРЕМЕННОМ НАГРУЖЕНИИ С УЧЕТОМ ПОВРЕЖДАЕМОСТИ

*Н. Х. СОБИРОВ, А. И. ИСОМИДДИНОВ, А. АБДУСАТТАРОВ*

*Ташкентский государственный транспортный университет, Республика Узбекистан*

Приведем результаты расчета тонкостенных стержней при пространственно-переменном нагружении на основе теории малых упругопластических деформаций и уточненной теории стержней [1–3]. При пространственно-переменном нагружении, т. е. при совместных продольных, поперечных и крутильных силах, законы распределения перемещений, деформаций и напряжений в сечениях стержня сложны, поэтому уточненная теория строится на основании ряда статических гипотез. На основании известных допущений выражения для перемещения точек стержня при переменном нагружении представим в виде [4]:

$$\begin{aligned} \bar{u}_1^{(n)} &= \bar{u}^{(n)} - y\bar{\alpha}_1^{(n)} - z\bar{\alpha}_2^{(n)} + \varphi\bar{v}^{(n)} + a_1\bar{\beta}_1^{(n)} + a_2\bar{\beta}_2^{(n)}, \\ \bar{u}_2^{(n)} &= \bar{v}^{(n)} - z\bar{\theta}^{(n)}, \quad \bar{u}_3^{(n)} = \bar{w}^{(n)} + y\bar{\theta}^{(n)}. \end{aligned} \quad (1)$$

На основе вариационного принципа Лагранжа с использованием соотношения Коши и связи между напряжениями и деформациями получено вариационное уравнение равновесия стержней при пространственно-переменном упругопластическом нагружении:

$$\frac{d}{dx} \left[ (A^{yn} - A^{nn(n)}) \frac{d\bar{U}^{(n)}}{dx} + (B^{yn} - B^{nn(n)}) \bar{U}^{(n)} \right] + (C^{yn} + C^{nn(n)}) \frac{d\bar{U}^{(n)}}{dx} + (D^{yn} - D^{nn(n)}) \bar{U}^{(n)} = \bar{Q}^{(n)}; \quad (2)$$

$$\left\{ - (A^{yn} - A^{nn(n)}) \frac{d\bar{U}^{(n)}}{dx} + (B^{yn} - B^{nn(n)}) \bar{U}^{(n)} - \bar{Q}_r^{(n)} \right\} d\bar{U}^{(n)} \Big|_r = 0, \quad (3)$$

где  $\bar{Q}^{(n)}$ ,  $\bar{Q}_A^{(n)}$  – векторы внешних сил; матрицы  $A, B, C, D$  – квадратичные матрицы девятого порядка;  $\bar{U}^{(n)} = \{ \bar{u}^{(n)}, \bar{\alpha}_1^{(n)}, \bar{\alpha}_2^{(n)}, \lambda_2^{(n)}, v^{(n)}, \beta_1^{(n)}, \beta_2^{(n)}, \bar{w}^{(n)}, \bar{\theta}^{(n)}, v^{(n)} \}$  – искомые векторы функции девятого порядка. Для определения значений расчетных величин используется формула [1]

$$U^{(k)} = U' + \sum_{k=2}^{kk} (-1)^{k-1} \bar{U}^{(k)}, \quad \sigma_{ij}^{(k)} = \sigma'_{ij} + \sum_{k=2}^{kk} (-1)^{k-1} \bar{\sigma}_{ij}^{(k)}. \quad (4)$$

Для решения краевой задачи используется метод конечных разностей и метод упругих решений, сформулированных нелинейных алгебраических уравнений с соответствующими граничными условиями, решается методом матричной прогонки с помощью следующей рекуррентной формулы:

$$\bar{V}_i = \alpha_i \bar{V}_{i+1} + \beta_i; \quad i = N-1, \dots, 1, \quad (5)$$

$$\text{здесь } \alpha_i = (\bar{B}_i - \bar{C}_i \alpha_{i-1})^{-1} \bar{A}_i; \quad \beta_i = (\bar{B}_i - \bar{C}_i \alpha_{i-1})^{-1} (\bar{C}_i \beta_{i-1} - \bar{F}_i). \quad (6)$$

Для реализации вышеприведенного алгоритма составлена модифицированная комплексная программа на объектно-ориентированном языке Delphi. Комплекс программ работает в диалоговом режиме [5]. На основе разработанного алгоритма произведен расчет тонкостенных стержней прямоугольного поперечного сечения, заземленного по торцам при знакопеременном нагружении с учетом накопления повреждений. Задача решена при следующих исходных данных.

Материальные константы кинетического уравнения повреждаемости:  $A = 1,2 \cdot 10^{-4}$ ;  $\alpha = \beta = 5$ ;  $\gamma = 0,8$ ;  $\alpha_1 = 0,97$ ;  $B = 1,4 \cdot 10^3$ ;  $\varepsilon_s = 0,0015$ . За внешнюю нагрузку приняты следующие значения:  $f_0^+ = 25$ ;  $f_0^- = 50$ ;  $\bar{f}_0^+ = 10$ ;  $\bar{f}_0^- = 5$  (кг/см<sup>2</sup>);  $\alpha = \pi/3$ ;  $\alpha^* = \pi/2$ ;  $\gamma = \pi/4$ ;  $\gamma^* = \pi/6$ .

В таблице 1 приводятся численные результаты вектора перемещений в зависимости от числа итерации  $\gamma$  (при  $N = 40$ ,  $k = 2$  и  $k = 10$ ).

Максимальные значения компонентов вектора перемещений на основе различных диаграмм деформирования приведены в таблице 1. Результаты численного эксперимента показывают, что с увеличением числа циклов нагружения изменяются зоны пластичности и повреждаемости, а это, в свою очередь, влияет на кинетику НДС стержня.

Таблица 1

x	k = 2			k = 10		
	Модель Мазинга – Москвитина ( $\gamma = 4$ )	Модель Гусенкова–Шнейдеровича ( $\gamma = 4$ )	Модель Буриева ( $\gamma = 5$ )	Модель Мазинга – Москвитина ( $\gamma = 3$ )	Модель Гусенкова – Шнейдеровича ( $\gamma = 3$ )	Модель Буриева ( $\gamma = 4$ )
$W^{(k)}$						
0,5	0,274187	0,274189	0,274398	0,274144	0,274132	0,274375
$\alpha_1^{(k)}$						
0,3	0,722022	0,722027	0,722560	0,721904	0,721872	0,722499
$\beta_1^{(k)}$						
0,1	0,019853	0,019854	0,019871	0,019851	0,019851	0,019869
$V^{(k)}$						
0,5	0,257083	0,257084	0,257279	0,257043	0,257030	0,257261
$\alpha_2^{(k)}$						
0,3	0,676963	0,676968	0,677462	0,676851	0,676819	0,677415

На рисунках 1, 2 показаны зоны пластичности и поврежденности соответственно для поперечного сечения  $x = 0,0$ ;  $x = 0,5$  при  $k = 2$  (a, b) и при  $k = 10$  (c, d).

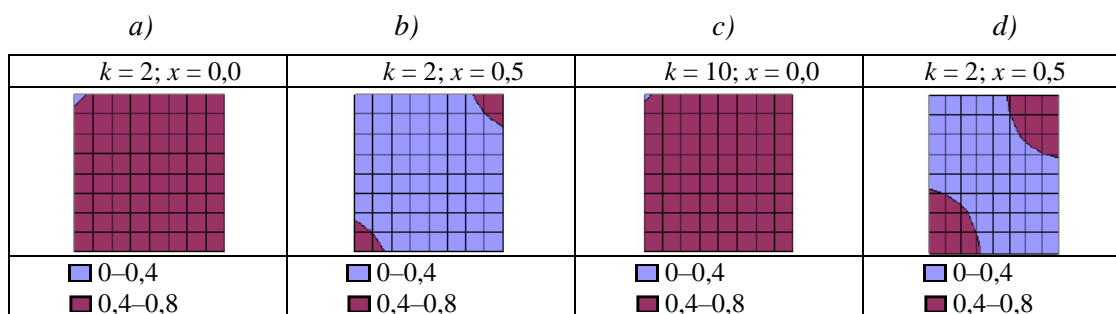


Рисунок 1 – Кинетика изменения зоны пластичности

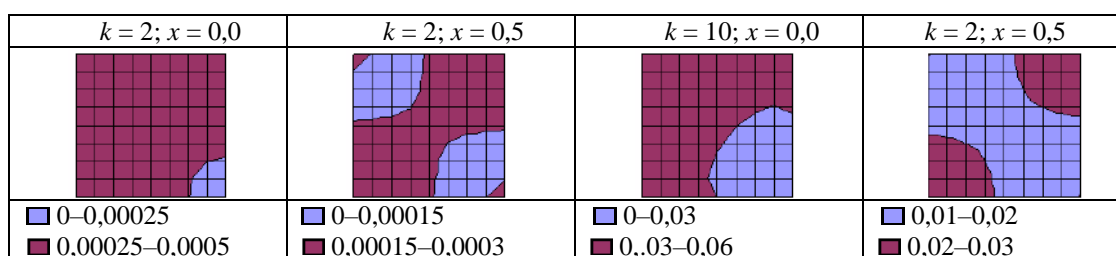


Рисунок 2 – Кинетика изменения зоны поврежденности

#### Список литературы

- 1 Москвитин, В. В. Циклические нагружения элементов конструкций / В. В. Москвитин. – М. : URSS, 2019. – 344 с.
- 2 Власов, В. З. Тонкостенные упругие стержни / В. З. Власов. – М. : Физматгиз, 1959. – 568 с.
- 3 Старовойтов, Э. И. Повторное знакопеременное деформирование упругопластических трехслойных стержней / Э. И. Старовойтов, Д. М. Савицкий // Материалы. Технологии. Инструменты. – 2013. – № 1. – С. 17–22.
- 4 Кабулов, В. К. Алгоритмизация в теории упругости и деформационной теории пластичности / В. К. Кабулов. – Ташкент : Фан, 1966. – 394 с.
- 5 Абдусаттаров, А. Упругопластический расчет стержней при пространственно-переменном нагружении с учетом повреждаемости / А. Абдусаттаров, А. И. Исомиддинов // Упругость и не упругость. – М. : Изд-во Московского университета, 2016. – С. 57–65.

УДК 539.3

## ИЗГИБ ТРЕХСЛОЙНОЙ ПЛАСТИНЫ В НЕЙТРОННОМ ПОТОКЕ

Э. И. СТАРОВОЙТОВ

Белорусский государственный университет транспорта, г. Гомель

**Введение.** В монографиях [1–3] разработаны модели деформирования трехслойных элементов конструкций при квазистатических и динамических нагрузках. Свободные, вынужденные и резонансные колебания трехслойных пластин и оболочек, в том числе связанных с упругим основанием Винклера, исследовались в публикациях [4–7]. Нестационарное нагружение трехслойных цилиндрических оболочек изучалось в работе [8]. Перемещения в круговой трехслойной пластине под действием неосесимметричных нагрузок исследовано в статье [9]. Статьи [10–14] посвящены исследованию квазистатического деформирования трехслойных пластин и оболочек. Влияние нейтронного облучения на механические свойства материалов описано в монографии [15].

Предполагается, что для внешних несущих слоев  $h_1 \neq h_2$  несимметричной по толщине трехслойной круговой пластины приняты гипотезы Кирхгофа. В жестком заполнителе ( $h_3 = 2c$ ), выполняется гипотеза Тимошенко.

В начальный момент времени к внешней поверхности  $z = c + h_1$  пластины подводится *нейтронный поток* плотностью  $\phi_0$  в направлении, противоположном внешней нормали. Согласно экспериментальным данным при малых деформациях в линейном приближении можно считать, что изменение объема материала прямо пропорционально интегральному нейтронному потоку [15]: